

# Содержание

<b>1</b>	<b>Введение</b>	<b>2</b>
1.1	Мотивация . . . . .	2
1.2	Отличие от работы CLEO . . . . .	2
1.3	Модели и теоретические предсказания . . . . .	2
<b>2</b>	<b>Экспериментальная установка</b>	<b>3</b>
2.1	Коллайдер KEK . . . . .	3
2.2	Детектор Belle . . . . .	3
<b>3</b>	<b>Методы измерения</b>	<b>5</b>
3.1	SVD . . . . .	5
3.2	Система идентификации заряженных адронов . . . . .	5
<b>4</b>	<b>Сбор данных</b>	<b>7</b>
4.1	Тагирование $\Lambda_c$ . . . . .	7
4.2	Критерии отбора . . . . .	7
<b>5</b>	<b>Поиск <math>\Lambda_c</math></b>	<b>9</b>
	<b>Appendix 1: Метод вычисления формфактора</b>	<b>10</b>
	<b>Appendix 2: Алгоритм фита в массу потерянной частицы</b>	<b>11</b>
<b>6</b>	<b>Литература</b>	<b>12</b>

# 1. Введение

## 1.1. Мотивация

Предпосылки открытия очарованного бариона  $\Lambda_c$  появились в 1975 году, когда в результате наблюдения аномалии в распаде  $e^+e^- \rightarrow e^+ + \mu^- + E_{miss}$  (см. [PhysRevLett1975]) было высказано предположение о существовании заряженного лёгкого очарованного бариона. Открытие на достаточном уровне значимости произошло более чем 10 лет спустя на коллайдере SPEAR (см. [Avery1988]) по распаду  $\Lambda_c \rightarrow pK^-\pi^+$ .

$\Lambda_c$ , будучи самым лёгким из очарованных барионов, распадается исключительно посредством слабого взаимодействия, что позволяет изолировать и исследовать вклад этого взаимодействия в барионных системах. В частности, канал  $\Lambda_c \rightarrow \Lambda l \nu_l$ , где  $l = e, \mu$ , а распад с продуктом  $l = \tau$  подавлен в силу закона сохранения 4-импульса:

$$m_{\Lambda_c} = 2.28646 \text{ GeV} < 2.89261 \text{ GeV} = 1.77693 \text{ GeV} + 1.11568 \text{ GeV} = m_\tau + m_\Lambda.$$

Бранчинговые отношения для полулептонных распадов  $\Lambda_c \rightarrow \Lambda l \nu_l$ , где  $l = e, \mu$ , были измерены в нескольких работах. Для канала  $\Lambda_c \rightarrow \Lambda e \nu_e$  измеренное бранчинговое отношение составляет  $B(\Lambda_c \rightarrow \Lambda e \nu_e) = 3.56 \pm 0.13\%$ , как указано в статье [CLEO2023]. Для канала  $\Lambda_c \rightarrow \Lambda \mu \nu_\mu$  измеренное бранчинговое отношение равно  $B(\Lambda_c \rightarrow \Lambda \mu \nu_\mu) = 3.48 \pm 0.17\%$  согласно [CLEO2023].

Полулептонные распады  $\Lambda_c$  являются удобным и относительно простым случаем для исследования переходов тяжёлого кварка в лёгкий, что позволяет точнее проверять предсказания теоретических моделей, таких как эффективная теория тяжёлых кварков (HQET) и квантовая хромодинамика на решётке (LQCD). Проверка этих моделей с помощью экспериментов может не только подтвердить их верность, но и выявить отклонения от стандартной модели, что потенциально указывает на существование новой физики, включая новые взаимодействия или экзотические частицы.

## 1.2. Отличие от работы CLEO

Измерение форм-фактора  $\Lambda_c \rightarrow \Lambda l \nu_l$  важно для проверки результатов предыдущего эксперимента [CLEO2023], в котором был измерен форм-фактор  $\Lambda_c \rightarrow \Lambda e \nu_e$ . Важно сравнить методологические и экспериментальные аспекты текущего исследования с работой команды CLEO.

Прежде всего, команда CLEO сделала предположение о том, что спин бариона  $\Lambda$  равномерно распределён. Это предположение оказывает влияние на значение спиральности, которое напрямую входит в уравнение для форм-фактора. В данной работе предлагается более точное измерение распределения направлений спина, основанное на анализе распада в канале  $\Lambda_c^+ \rightarrow \Lambda \pi^+$ . Этот подход позволяет уменьшить систематические ошибки и повысить точность вычислений.

Второе важное отличие заключается в использовании независимого источника данных. В то время как команда CLEO использовала данные, собранные с детектора "CLEO" на Корнельском электронном накопительном кольце (Cornell Electron Storage Ring), в настоящей работе анализ проводился на детекторе "Belle" установленном на ускорителе "KEK". Это не только обеспечивает независимую проверку результатов, но и позволяет уточнить их с учётом различий в экспериментальных установках.

Наконец, команда CLEO не проводила анализа полулептонного распада  $\Lambda_c \rightarrow \Lambda \mu \nu_\mu$ , что является существенным упущением. В данном исследовании этот канал был тщательно изучен, что позволяет расширить понимание полулептонных распадов и улучшить тесты на универсальность лептонов.

Таким образом, данная работа вносит вклад в дальнейшее изучение свойств бариона  $\Lambda_c$  и уточнение результатов, полученных в предыдущих исследованиях.

## 1.3. Модели и теоретические предсказания

Как уже было сказано выше, на данный момент существуют численные методы вычисления форм-факторов, основанные на различных приближениях или моделях. Все они дают различные результаты (см. таблицу 1). Поскольку сильное взаимодействие сложно поддаётся теоретическим расчётам из-за отсутствия малого параметра, результаты могут быть проверены только экспериментально.

Таблица 1. Форм-факторы полулептонных распадов  $\Lambda_c \rightarrow \Lambda$  для  $q^2 = 0$ .

Form Factor	$\mathfrak{F}_1^V(0)$	$\mathfrak{F}_2^V(0)$	$\mathfrak{F}_3^V(0)$	$\mathfrak{F}_1^A(0)$	$\mathfrak{A}_2^A(0)$	$\mathfrak{A}_3^A(0)$
[QCD2021]	0.687(138)	0.486(117)	0.164(80)	0.539(101)	-0.388(100)	-0.359(283)
[BagModel1989]	0.35	0.09	0.25	0.61	-0.04	-0.11
[RQM2016]	1.14	0.072	0.252	0.517	-0.697	-0.471
[QSR2009]	0.665	0.285	—	0.665	-0.285	—
[LFCQM2018]	0.468	0.222	—	0.407	-0.035	—

## 2. Экспериментальная установка

### 2.1. Коллайдер КЕК

Ускоритель КЕКВ является электрон-позитронным коллайдером, состоящим из двух колец, пересекающихся в одной точке под углом  $22\text{ mrad}$ , что позволяет измерять СР-асимметрию. Пучки электронов и позитронов сталкиваются с энергией  $8\text{ GeV}$  и  $3.5\text{ GeV}$  соответственно. Пучки рождаются на фотонной фабрике и, проходя через линейный ускоритель, где разгоняются до скорости, близкой к скорости света, передаются в основные кольца. В режиме накопления пучка подача происходит непрерывно, а в нормальном режиме сбора данных - периодически, раз в несколько миллисекунд **точное значение времени подачи можно уточнить**.

Основной целью было производство большого количества В-мезонов. Работа ускорителя началась в декабре 1998 года и закончилась в конце июня 2010 года. За это время КЕКВ установил мировой рекорд по светимости -  $2.11 \times 10^{34}\text{ cm}^{-2}\text{ s}^{-1}$ , который на сегодняшний день был превзойдён только на коллайдере SuperKEKB - усовершенствованной версии, собранной на основе КЕКВ.

[ссылка на КЕК digital accelerator и список литературы](#)

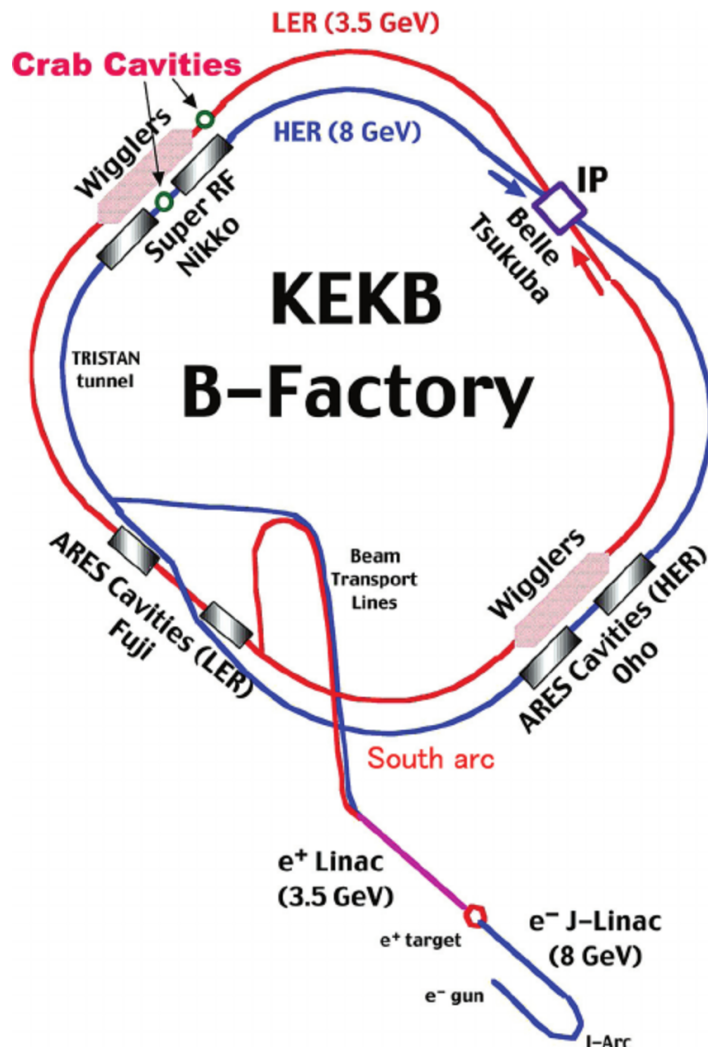


Рис. 1. Ускорительный комплекс КЕКВ

### 2.2. Детектор Belle

Детектор Belle охватывал весь азимутальный угол, а также перекрывал часть полярного угла от  $17^\circ$  до  $150^\circ$ , что соответствует  $0.74$  полного телесного угла. Установка окружала точку взаимодействия и состояла из вершинного кремниевого детектора (SVD), центральной дрейфовой камеры (CDC) из 50 цилиндрических слоёв, массива аэрогелевых черенковских счётчиков (ACC), системы измерения времени пролёта (TOF) из сцинтилляционных счётчиков, электромагнитного калориметра (ECL), изготовленного из кристаллов йодида цезия (CsI), и переднего калориметра (EFC), расположенных внутри сверхпроводящего соленоида, обеспечивающего магнитное поле величиной  $1.5\text{ Tl}$ . В железном ярме электромагнита был расположен детектор  $K_L^0$  мезонов и  $\mu$  (KLM), составленный из

стеклянных резистивных плоских камер. Общий вид детектора Belle показан на рис. 2. Подробно о поддетекторах и восстановлении события в [ссылка на ашпендикс](#).

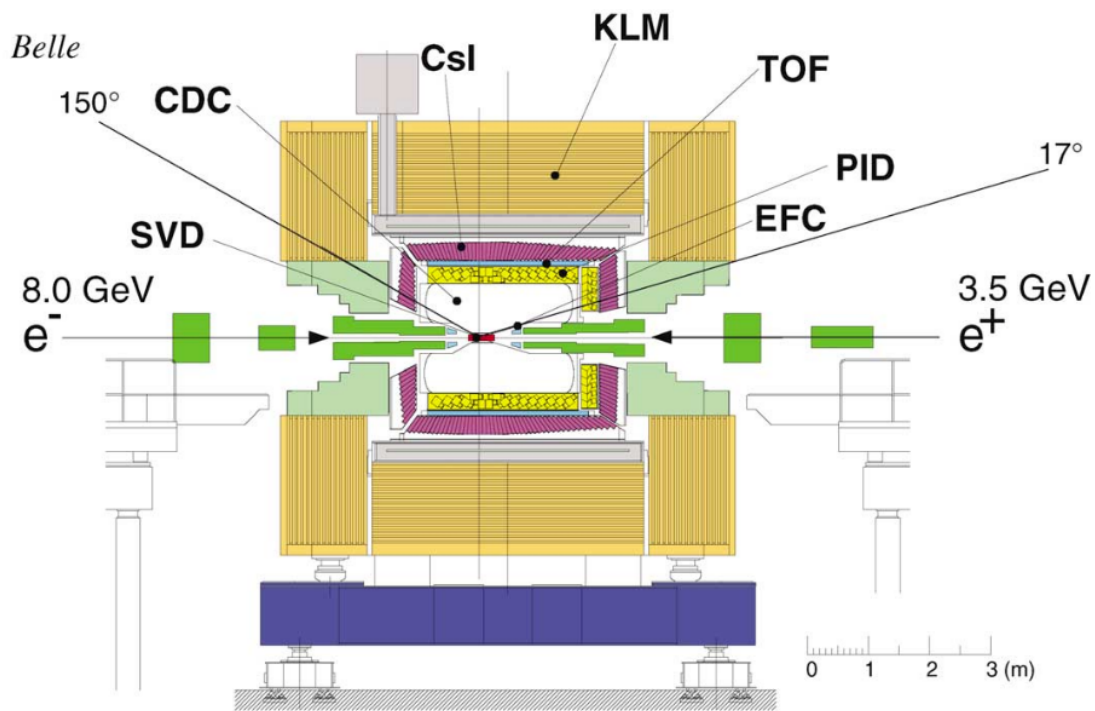


Рис. 2. Детектор Belle в сечении

### 3. Методы измерения

#### 3.1. SVD

Кремниевый вершинный детектор (рис. 3), расположенный непосредственно у точки взаимодействия, служит для определения её точного местоположения. Он состоит из тонких слоёв, охватывающих угловой диапазон от  $23^\circ$  до  $139^\circ$ , расположенных внахлест и разделённых на секции, в которых при пролёте частиц образуются электронно-дырочные пары. Благодаря большому сечению взаимодействия, высокой плотности материала и низкой энергии взаимодействия, полупроводниковые детекторы обладают высокой точностью при измерении широкого диапазона энергий частиц. Это позволяет определять точку взаимодействия с точностью до 100 мкм. Однако, несмотря на значительно более высокую точность по сравнению с газовыми детекторами, монтаж большого количества слоёв усложнён из-за возможных сильных отклонений трека в результате многократного взаимодействия с плотными кристаллами кремния.

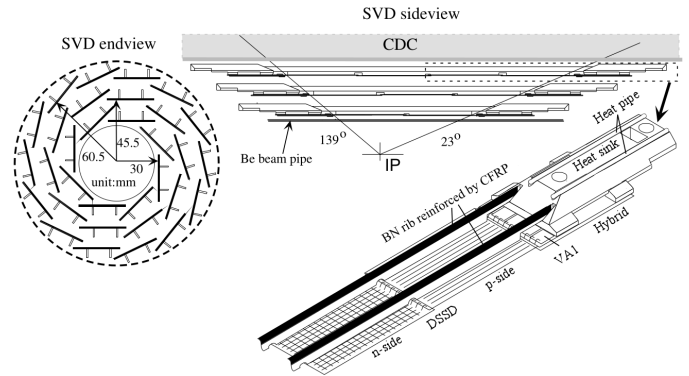


Рис. 3. Схематическое изображение SVD.

#### 3.2. Система идентификации заряженных адронов

Система включает в себя три основных детектора: CDC, TOF и ACC.

CDC (центральная дрейфовая камера) представляет собой вытянутый цилиндр, слегка деформированный для эффективного охвата полярного угла от  $17^\circ$  до  $150^\circ$ . Камера заполнена смесью газов  $He$  и  $C_2H_6$ , что минимизирует влияние на трек частицы и обеспечивает максимальную эффективность ионизации. Высвобождающиеся электроны движутся к тонким алюминиевым проволокам, натянутым внутри объёма CDC (рис. 4). На проволоки подаётся напряжение порядка 20 кВ/см. При достижении электронами проволок происходит лавинное умножение электронов, что фиксируется системой. Вся камера находится в магнитном поле с индукцией около 1.5 Тл, что позволяет измерять импульс частицы по кривизне её трека. Также потери энергии на ионизацию позволяют оценить массу частицы, что, в свою очередь, помогает в идентификации заряженных частиц.

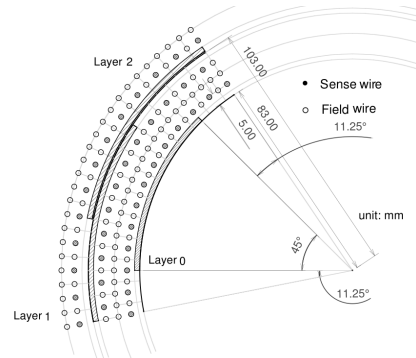


Рис. 4. Конфигурация слоёв проволок в центральной дрейфовой камере (CDC).

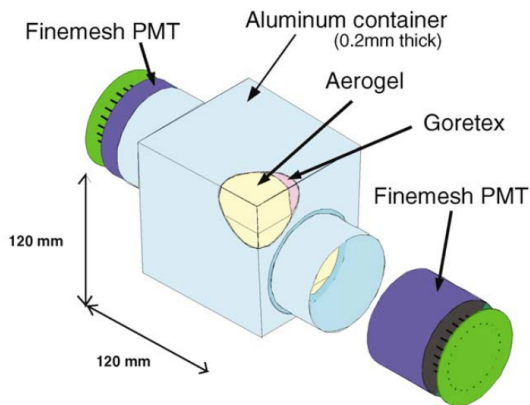


Рис. 5. Детектор черенковского излучения (ACC).

ACC (детектор черенковского излучения) состоит из отдельных модулей размером  $12 \times 12 \times 12$  см, расположенных цилиндрически и разделённых на 240, 240 и 360 модулей, ориентированных под различными углами для эффективного захвата частиц. Дополнительно имеется 228 счётчиков, установленных на торцевой стороне для учёта частиц, движущихся в определённом направлении из-за особенностей распределения импульса. Частицы, пролетающие через аэрогелевые среды, заполняющие модули ACC, возбуждают фотоны, длина волны которых зависит от заряда, импульса и массы частицы.

TOF (временипролётный детектор) — это система пластиковых сцинтилляционных счётчиков, направленных на точку взаимодействия, предназначенная для разделения каонов и пионов при импульсах менее 1.2 ГэВ. Такое разделение основано на принципе работы: отклик в 128 сцинтилляционных счётчиках сравнивается с длиной трека, рассчитанной путём экстраполяции из тре-

ковой системы.

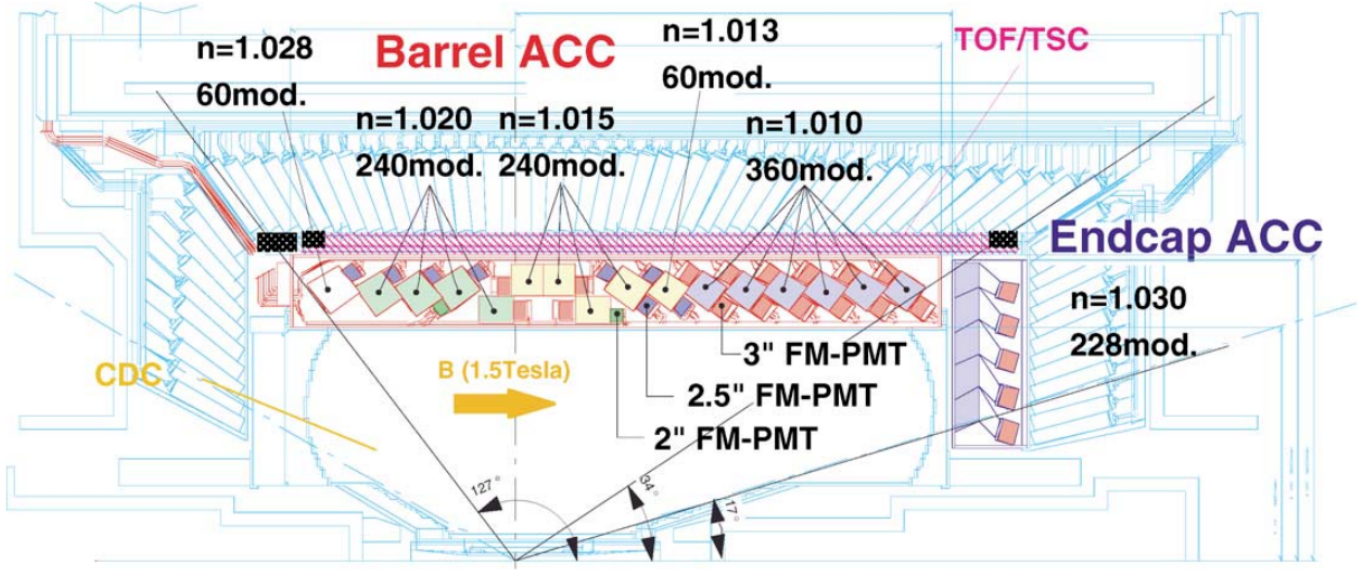


Рис. 6. Полная система идентификации заряженных частиц (ACC, CDC и TOF).

На основе данных ACC, CDC и TOF, вычисляются вероятности идентификации частиц для каждого детектора:  $L_{ACC}(p)$  для ACC,  $L_{TOF}(p)$  для TOF и  $L_{CDC}(p)$  для CDC, где  $p$  — это гипотеза о типе частицы. Общая функция правдоподобия рассчитывается как произведение отдельных функций  $L(p) = L_{ACC}(p) \cdot L_{TOF}(p) \cdot L_{CDC}(p)$ . Затем для двух гипотез о типе частицы вычисляется показатель  $PID$  (отношение правдоподобий):

$$\mathfrak{L}_{a/b} = \frac{L(a)}{L(a) + L(b)}, \quad (3.1)$$

где  $a$  и  $b$  — два возможных типа частицы.

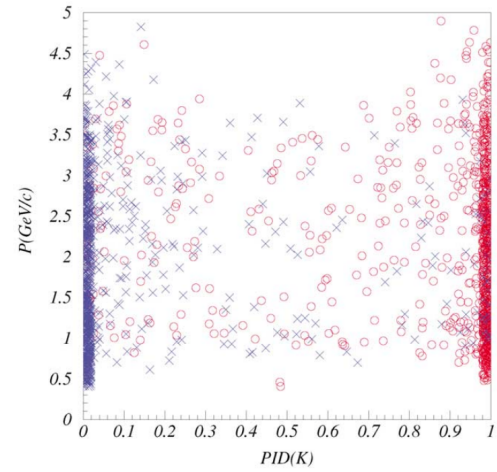


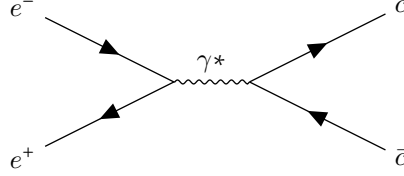
Рис. 7. Распределение  $PID$  для  $K$  - синие кресты и  $\pi$  - красные окружности



## 4. Сбор данных

### 4.1. Тагирование $\Lambda_c$

Для восстановления распадов  $\Lambda_c$ -барионов и определения импульса недетектируемого нейтрино применяется тагирование по заряду, аромату и барионному числу. Будем предполагать, что  $\Lambda_c$  образуется из  $\bar{c}$ -кварка и подхваченных из вакуума недостающих кварков. В таком случае будем называть систему центромасс  $c$ -кварка  $X_c$ , то есть неизвестная очарованная частица, которая фактически может быть не одной, а несколькими частицами сразу.



Для того чтобы определить состав  $X_c$ , необходимо, чтобы соблюдались законы сохранения барионного числа, аромата, заряда, а также 4-импульса. Такая технология называется тагированием [ссылка на работу](#). В результате получим, что в  $X_c$  будет входить хотя бы один барион и кварки  $ucd$ , а также любые пары  $q\bar{q}$ . В итоге возможны следующие варианты  $X_c$ . Также важно понимать, что чем больше частиц содержит  $X_c$ , тем менее вероятно событие с такой комбинацией, так как новые частицы требуют дополнительных кварковых пар, создание которых требует больше энергии. Кроме того, при добавлении новых частиц время работы программы увеличивается экспоненциально, так как сложность алгоритма  $\mathcal{O}(P_n N_n)$  (где  $N_n$  количество задетектированных частиц типа  $n$  в событии).

Я рассмотрю  $X_c \rightarrow \Lambda_c^{tag}; \Lambda_c^{tag} \pi^- \pi^-; \Lambda_c^{tag} \pi^+ \pi^- \pi^+ \pi^-; D^0 p; D^+ p \pi^-; D^{*0} p; D^{*+} p \pi^-$ , чтобы отличать  $\Lambda_c$  которую мы тагируем от той что является продуктом  $X_c$ , вторую обозначая как  $\Lambda_c^{tag}$ . Каналы распада прочих частиц, так как для этой остальных частиц нам уже известны бранчинговые соотношения, будут использованы самые эффективные из них согласно [PDGTablesBar] для барионов и [PDGTablesMes] для мезонов.

Particle	Channels
$D^0$	$K^- \pi^+; K^- \pi^+ \pi^+ \pi^-; K^- K^+; K_s^0 \pi^+ \pi^+; K_s^0 \pi^0; K^+ K^- K_s^0$
$D^+$	$K^- \pi^+ \pi^+; K_s^0; K_s^0 \pi^+ \pi^+ \pi^-; K^+ K^- \pi^+$
$\Lambda_c^{tag}$	$p K^- \pi^+; \Lambda^0 \pi^+; \Lambda^0 \pi^+ \pi^0; p K_s^0 \pi^0$
$D^{*+}$	$D^0 \pi^0; D^0 \gamma$
$D^{*+}$	$D^+ \pi^0; D^0 \pi^+$
$\pi^0$	$\gamma \gamma$
$K_s^0$	$\pi^+ \pi^-$

### 4.2. Критерии отбора

В данном разделе изложены критерии отбора, принятые на основании работы [BelleDetector2002]. Все аспекты, не рассмотренные в указанной работе, будут обсуждены отдельно.

- На все фотоны, используемые при реконструкции событий, накладывается ограничение  $E_\gamma > 50$  MeV, поскольку фотоны с меньшей энергией трудно отличимы от индуцированных токов, что может привести к ошибочной интерпретации их как сигналы фотонов.

- Идентификация частиц (PID): Для идентификации частиц используются данные с детекторов CDC, ACC и TOF, которые позволяют вычислить функции правдоподобия  $L_\pi, L_K, L_p$ , соответствующие гипотезам пиона, каона и протона, соответственно. Для различения гипотез частиц  $a$  и  $b$  применяется условие на отношение:

$$\mathcal{L}_{a/b} = \frac{L_a}{L_a + L_b}$$

$p$	$\mathcal{L}_{p/K} < 0.6; \mathcal{L}_{p/\pi} > 0.6$
$K^0$	$\mathcal{L}_{p/K} < 0.4; \mathcal{L}_{K/\pi} > 0.6$
$\pi^\pm$	все треки, не прошедшие идентификацию по вышеуказанным критериям

- $K_s^0$ -мезоны реконструируются по распаду  $K_s^0 \rightarrow \pi^+ \pi^-$  из кандидатов, отобранных с помощью стандартного инструмента V0finder и собранных в таблице MdstVee2. Критерии отбора следующие:

$$|M_{K_s^0} - M_{K_s^0}^{real}| < 30 \text{ MeV}; \quad \rho_{K_s^0} > 1 \text{ мм}; \quad z_{K_s^0} > 1 \text{ см}; \quad \cos \theta_{K_s^0} > 0.99$$

где  $M_{K_s^0}^{real} = 497.611 \text{ MeV}$ ,  $M_{K_s^0}$  — инвариантная масса пионов ( $\pi^+\pi^-$ ), собранных в  $K_s^0$ -мезон,  $z_{K_s^0}$  и  $\rho_{K_s^0}$  — цилиндрические координаты реконструированной вершины распада  $K_s^0$ -мезона в лабораторной системе отсчёта, а  $\cos\theta_{K_s^0}$  — азимутальный угол между импульсом  $K_s^0$  и направлением на его вершину распада.

Независимо от работы [BelleDetector2002], среди пар  $\pi^+\pi^-$ , идентифицированных как кандидаты на дочерние продукты распада  $K_s^0$ -мезона, можно использовать знание о том, что импульсы продуктов распада должны исходить из вершины распада. Это позволяет откорректировать измеренные импульсы с учётом погрешностей, чтобы они соответствовали данной гипотезе (в дальнейшем это будет называться "фит в вершину"). Аналогично, на основании инвариантной массы, известной для  $K_s^0$ , можно корректировать величины импульсов дочерних частиц так, чтобы  $M_{K_s^0}$  совпадала с  $M_{K_s^0}^{real}$ . Этот метод будет называться "фит в массу". Были использованы алгоритмы для фита в вершину и в массу принятые в коллаборации КЕК, и описанные в [Krohn2021].

- $\pi^0$  -мезоны восстанавливались в распаде на два фотона, которые в свою очередь реконструировались по кластерам энерговыделения в ECL. Критерии отбора:

$$|M_{\pi^0} - M_{\pi^0}^{real}| < 15 \text{ MeV}$$

После отбора стандартно были установлены погрешности для импульсов фотонов и выполнены фиты в вершину и массу.

- Отбор  $D$  -мезонов:

$$\begin{array}{l|l} D^0 & |M_{D^0} - M_{D^0}^{real}| < 15 \text{ MeV} \\ D^\pm & |M_{D^\pm} - M_{D^\pm}^{real}| < 15 \text{ MeV} \\ D_{*^\pm} & |M_{D_{*^\pm}} - M_{D_{*^\pm}}^{real}| < 3 \text{ MeV} \\ D_{*^0} & |M_{D_{*^0}} - M_{D_{*^0}}^{real}| < 3 \text{ MeV} \end{array}$$

Где  $M_{D^\pm}^{real} = 1864.83 \text{ MeV}$ ;  $M_{D^0}^{real} = 1869.65 \text{ MeV}$ ;  $M_{D_{*^\pm}}^{real} = 2010.26$ ;  $M_{D_{*^0}}^{real} = 2006.85 \text{ MeV}$ .



## 5. Поиск $\Lambda_c$

На основе выбранных нами каналов  $X_c$  писанных в предыдущем разделе обираем события в котрых выполняется условие

$$|p_{e^+} + p_{e^-} - p_{X_c}|^2 \leq 3GeV \quad (5.1)$$

Так как в идеальных условиях эта влечина должна быть равна квадрату  $M_{\Lambda_c}^{real} = 2226.46 MeV$ , таким образом мы откинем множество событий котрые заатагировали возбужденные состояния  $\Lambda_c$  или поряли трек.

В отобранных событиях мы будем собирать  $\Lambda_c$  барионы. По каналам  $\Lambda_c^+ \rightarrow \Lambda\pi^+; \Lambda\nu_e e^+; \Lambda\nu_\mu\mu^+$ .

- Для отбора  $\Lambda \rightarrow p\pi$  требуем

$$|M_{\Lambda_c} - M_{\Lambda_c}^{real}| < 30 \text{ MeV}; \quad \rho_{\Lambda_c} > 1 \text{ mm}; \quad z_{\Lambda_c} > 1 \text{ cm}; \quad \cos\theta_{\Lambda_c} > 0.99; \quad \mathfrak{L}_{p/K} > 0.6$$

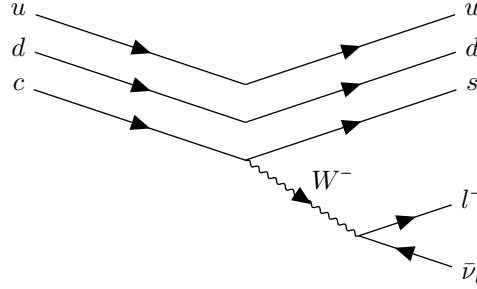
- Для отбора  $e^\pm$  требуем  $p_{e^\pm} \geq 0.6GeV$ , чтобы долетел до SVD детектора где он в ходе  $e^- \rightarrow \gamma e^- \rightarrow 2e^- e^+$  распадается электронн-фотонным ливнем, что позволяет его олично индефефицировать, поэтому критерий на  $L(e) > 0.1$  не такой строгий.

- Аналогично отбора  $\mu^\pm$  требуем  $p_{\mu^\pm} \geq 0.6GeV$ , чтобы долетел до KLM, где идентификация мюонов еще лучше поэтому требуем  $L(\mu) > 0.01$

- Комбинируем  $\Lambda_c$  с массовым окном  $50MeV$ .
- Делаем фиты в вершину, а после в массу для всех собранных частиц это  $\Lambda_c, D^\pm, D^0, D^{*\pm}, D^{*0}, \Lambda, K_s^0, K^\pm$ .
- Для импульс  $X_c$  фитируем так чтобы  $|p_{e^+} + p_{e^-} - p_{X_c}|^2 = M_{\Lambda_c}^2$

## Appendix 1: Метод вычисления формфактора

$\Lambda_c$  барион состоит из  $ucd$  кварков, в ходе распада  $\Lambda_c \rightarrow \Lambda l \nu_l$  происходит переход  $c \rightarrow s$  посредством испускания  $W^+$  бозона то есть правильно будет записать  $c \rightarrow s W^+$ ,  $W^+$  распадается на  $W^+ \rightarrow l^+ \nu_l$ , в итоге оставшиеся кварки  $uds$  формируются в  $\Lambda$  барион. Таким образом получим следующую феймановскую диаграмму.



Переход  $\Lambda_c \rightarrow \Lambda$  индуцируется слабым током  $j_\mu$ , который можно разложить по аксиальной и векторной части:  $j_\mu = j_\mu^A + j_\mu^V$ . Обозначим волновые функции частиц  $B_{\Lambda_c}(p_{\Lambda_c}, M_{\Lambda_c}) \rightarrow B_\Lambda(p_\Lambda, M_\Lambda) + l(p_l, m_l) + \nu_l(p_\nu, m = 0)$ . Форм факторы выражаются как:

$$\langle B_{\Lambda_c}(p_{\Lambda_c}, M_{\Lambda_c}) | j_\nu^V | B_\Lambda(p_\Lambda, M_\Lambda) \rangle = u_2^\dagger \left( \mathfrak{F}_1^V(q^2) \gamma_\nu + \frac{\mathfrak{F}_2^V(q^2)}{M_{\Lambda_c}} \sigma_{\mu\nu} q^\nu + \frac{\mathfrak{F}_3^V(q^2)}{M_{\Lambda_c}} q_\mu \right) u_1 \quad (5.2)$$

$$\langle B_{\Lambda_c}(p_{\Lambda_c}, M_{\Lambda_c}) | j_\nu^A | B_\Lambda(p_\Lambda, M_\Lambda) \rangle = u_2^\dagger \left( \mathfrak{F}_1^A(q^2) \gamma_\nu + \frac{\mathfrak{F}_2^A(q^2)}{M_{\Lambda_c}} \sigma_{\mu\nu} q^\nu + \frac{\mathfrak{F}_3^V(q^2)}{M_{\Lambda_c}} q_\mu \right) \gamma_5 u_1 \quad (5.3)$$

Где  $\gamma_\mu$  - матрицы Диррака,  $q_\mu$  - 4-импульс  $W^+$  бозона,  $\sigma_{\mu\nu} = \frac{1}{2}(\gamma_\mu \gamma_\nu - \gamma_\nu \gamma_\mu)$ .

Дописать вывод связи форм фактора и спиральности

## Appendix 2: Алгоритм фита в массу потерянной частицы

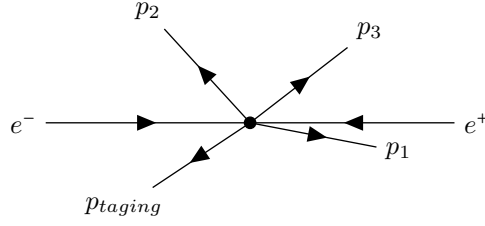


Рис. 8. Схема распада.

Дано:  $p_1, p_2, p_3$  — это 4-импульсы продуктов распада (тагирующих выбранную частицу), представленных на рис. 8. Также известны матрицы ковариаций компонент 3-импульса  $\Xi_1, \Xi_2, \Xi_3$  для соответствующих частиц.  $p_{\text{beam}}$  — это 4-импульс системы ( $p_{\text{beam}}$ ), а  $M_{\text{rec}}$  — это масса недостающей (тагируемой) частицы.

Для поиска оптимального решения используется метод множителей Лагранжа. Поскольку мы минимизируем изменения импульсов с учётом их ошибок, применяем следующую функцию:

$$\chi^2 = \sum_n (p_n)_i (\Xi_n^{-1})_{ij} (p_n)_j \quad (5.4)$$

Функция Лагранжа с наложением ограничения имеет вид:

$$M_{\text{rec}}^2 - (p_{\text{beam}} - \sum_n p_n)_\mu (p_{\text{beam}} - \sum_n p_n)^\mu = 0 \quad (5.5)$$

Полная функция Лагранжа с множителем Лагранжа  $\lambda$  записывается следующим образом:

$$\mathcal{L}(p_n, \lambda) = \sum_n (p_n)_i (\Xi_n^{-1})_{ij} (p_n)_j + \lambda \left( M_{\text{rec}}^2 - (p_{\text{beam}} - \sum_n p_n)_\mu (p_{\text{beam}} - \sum_n p_n)^\mu \right) \quad (5.6)$$

Для минимизации используется метод Ньютона-Рафсона. На каждом шаге вычисляются градиент (первая производная) и гессиан (матрица вторых производных) функции Лагранжа:

$$\nabla \mathcal{L}(x_n) = c_n, \Delta \otimes \Delta \mathcal{L}(x_n) = \hat{A}_n \quad (5.7)$$

где  $x_n$  — это вектор параметров на  $n$ -м шаге. Затем на каждом шаге решается система уравнений для обновления параметров:

$$\hat{A}_n \delta x_{n+1} = -c_n \quad (5.8)$$

После чего параметры обновляются:

$$x_{n+1} = x_n + \delta x_{n+1}. \quad (5.9)$$

## 6. Литература

### Список литературы

- [1] Avery P., Blanco R., Liu K., et al. Observation of the Charmed Baryon  $\Lambda_c^+$  at SPEAR // Phys. Rev. Lett. 1988. V. 50. P. 747-750. DOI: 10.1103/PhysRevLett.50.747.
- [2] Perl M. L., Abrams G. S., Boyarski A. M., et al. Evidence for Anomalous Lepton Production in  $e^+e^-$  Annihilation // Phys. Rev. Lett. 1975. V. 35. P. 1129-1132. DOI: 10.1103/PhysRevLett.35.1129.
- [3] Eisenstein B. I., Alexander J. P., Berkelman K. Study of the Semileptonic Decay  $\Lambda_c \rightarrow \Lambda e \nu_e$  // Physical Review D. 2022. V. 105. P. 012007. DOI: 10.1103/PhysRevD.105.012007.
- [4] Dobbs S., Metreveli Z., Seth K. K. Study of  $\Lambda_c^+ \rightarrow \Lambda \mu^+ \nu_\mu$  and test of lepton flavor universality with  $\Lambda_c^+ \rightarrow \Lambda l^+ \nu_l$  decays // Physical Review D. 2023. V. 106. P. 032005. DOI: 10.1103/PhysRevD.106.032005.
- [5] Perez-Marcial R., Huerta R., Garcia A., Avila-Aoki M. Predictions for semileptonic decays of charm baryons. 2. Nonrelativistic and MIT bag quark models // Phys. Rev. D. 1989. V. 40. P. 2955. DOI: 10.1103/PhysRevD.40.2955.
- [6] Faustov R. N., Galkin V. O. Semileptonic decays of  $\Lambda_c$  baryons in the relativistic quark model // Eur. Phys. J. C. 2016. V. 76. P. 628. DOI: 10.1140/epjc/s10052-016-4492-z.
- [7] Liu Y. L., Huang M. Q., Wang D. W. Improved analysis on the semi-leptonic decay  $\Lambda_c \rightarrow \Lambda l \nu$  from QCD light-cone sum rules // Phys. Rev. D. 2009. V. 80. P. 074011. DOI: 10.1103/PhysRevD.80.074011.
- [8] Zhao Z. X. Weak decays of heavy baryons in the light-front approach // Chin. Phys. C. 2018. V. 42. P. 093101. DOI: 10.1088/1674-1137/42/9/093101.
- [9] Geng C. Q., Liu C. W., Tsai T. H. Semileptonic weak decays of antitriplet charmed baryons in the light-front formalism // Phys. Rev. D. 2021. V. 103. P. 054018. DOI: 10.1103/PhysRevD.103.054018.
- [10] Gutsche T., Ivanov M. A., Korner J. G., Lyubovitskij V. E., Santorelli P. Semileptonic decays  $\Lambda_c \rightarrow \Lambda \ell \nu$  in the covariant quark model // Phys. Rev. D. 2016. V. 93. P. 034008. DOI: 10.1103/PhysRevD.93.034008.
- [11] Bahtiyar H., Can K. U., Oka M., Takahashi T. T.  $\Lambda_c \rightarrow \Lambda$  Form Factors in Lattice QCD // Phys. Rev. D. 2021. V. 102. P. 114505. DOI: 10.1103/PhysRevD.102.114505.
- [12] Navas S., et al. (Particle Data Group). Review of Particle Physics // Phys. Rev. D. 2024. V. 110. 3. P. 030001.(2024)
- [13] Navas S. et al. (Particle Data Group). Review of Particle Physics // Phys. Rev. D. 2024. V. 110. № 3. P. 030001. (2024)
- [14] Abashian A. et al. The Belle Detector // Nuclear Instruments and Methods in Physics Research A. 2002. V. 479. P. 117–232.
- [15] Krohn J.-F., Urquijo P., Abudinén F., et al. Global Decay Chain Vertex Fitting at B-Factories // Nuclear Instruments and Methods in Physics Research A. 2021. V. 988. P. 164891.